## Раздел 2

# ВИРТУАЛЬНЫЕ И ИНТЕЛЛЕКТУАЛЬНЫЕ СИСТЕМЫ ОБРАБОТКИ ИНФОРМАЦИИ В ЭКОЛОГИИ, МЕДИЦИНЕ И БИОЛОГИИ

УДК 535.015

# ГЕОИНФОРМАЦИОННАЯ СИСТЕМА ДЛЯ ОПРЕДЕЛЕНИЯ ПЛОЩАДИ АКВАТОРИИ ОЗЁР

# А.А. Донцов, И.А. Суторихин

Институт водных и экологических проблем СО РАН, Институт вычислительных технологий СО РАН г. Барнаул, г. Новосибирск

Для определения площади акватории разнотипных озер разработана программа обработки спутниковых данных Landsat-8 и Sentinel-2. В качестве примера реализации предложенного алгоритма, определены площади таких озер как Красиловское, Большое Яровое и Кучукское в Алтайском крае, а также Телецкое в Республике Алтай. Проведена оценка ошибок полученных значений площадей водных объектов, возникающих в ходе обработки данных.

**Ключевые слова:** Дистанционное зондирование, ГИС, озеро, Landsat-8, Sentinel-2, Spectral Angle Mapper.

Актуальной задачей гидрологии СУШИ внутренних водоемов является определение площади акватории в различные сезоны года [1]. Изменение площади водоёмов может быть связано как с природными процессами, так и антропогенным воздействием. Применение В качестве индикаторов водоёмов, при изучении подобных процессов, возможно лишь при достоверной количественной оценке морфометрических характеристик, в первую очередь, их площади. Как правило, для этого используют наземные измерения, данные аэрофотосъемки и спутникового мониторинга. В работе представлены первые результаты разработки программного комплекса для определения площади акватории озёр и водохранилищ по данным, полученным с космических аппаратов Sentinel-2 и Landsat-8.

# Объекты и методы

В работе применены данные космических аппаратов Sentinel-2 и Landsat-8, которые получены из открытых архивов спутниковой информации ESA (European Space Agency) и USGS (United States Geological Survey) [2, 3]. При определении площади акватории озёр использованы следующие спектральные каналы измерительных приборов:

- 1. Landsat-8(OLI) шесть спектральных каналов со второго по седьмой с пространственным разрешением 30 метров. После процедуры паншарпенинга (pan sharpening) пространственное разрешение было увеличено до 15 метров.
- 2. Sentinel-2(MSI) десять каналов с пространственным разрешением 10 метров.

обработки данных на Для основе компонентов библиотеки GDAL [4] и спектральными библиотеки работы со снимками Spectral [5] на языке Python разработан программный модуль. Первым этапом его работы является атмосферная коррекция, которая реализована по алгоритму DOS1 [6]. Второй этап заключается в классификации данных. При реализации классификации задавались тренировочные векторных полигонов, области в виде покрывающих гомогенные типы подстилающей поверхности на спутниковых снимках. Таким полигонам задавался определенный класс (например: акватория озера, лес, поле и т.д.). При классификации использовался метод спектральной корреляции (Spectral Angle Mapper), который угол определяет спектральный сигнатурой пикселя карты и тренировочной спектральной сигнатурой [7]. Вычисление происходит согласно формуле:

$$\theta(x,y) = \cos^{-1}\left(\frac{\sum_{i=1}^{n} x_i \ y_i}{\left(\sum_{i=1}^{n} x_i^2\right)^{\frac{1}{2}} + \left(\sum_{i=1}^{n} y_i^2\right)^{\frac{1}{2}}}\right)$$

где x — вектор спектральной сигнатуры пикселя снимка, y — вектор спектральной сигнатуры тренировочной области, n — количество спектров изображения. На третьем, заключительном, этапе происходит запись результатов классификации в базу данных, которая разработана с использованием NoSQL парадигмы, на основе СУБД MongoDB [8]. Применение такого подхода в разработке каталогов спутниковых данных и геопортальных решений более

подробно рассмотрено в [9,10]. Записи в СУБД представляют себя JSON из массив. называемый документом, который упрощенном виде представлен ниже. "crs": { "urn:ogc:def:crs:EPSG::32645" }, "features": [ {"properties": {"AREA": 229427100.0. "PERIMETER": 309390.0}, "geometry": { "type": "Polygon", "coordinates": [ [ 549232.5, 5739337.5], [549262.5, 5739337.5], [549262.5, 5739307.5], [549292.5, 5739307.5],

... ...]]]]

Параметр crs описывает географическую проекцию, в которой задан объект, далее идёт описание самого объекта AREA и PERIMETER площадь и периметр, описание геометрии, перечислены координаты узлов. Используя возможности MongoDB, онжом производить сравнение результатов классификации сделанной для разновременных снимков.

#### Оценка точности

Точность измерения площади водоема по ДЗЗ зависит от многих факторов: параметров прозрачности водоема (площади, воды. извилистости береговой линии), характеристик измерительной аппаратуры (пространственного разрешения, спектральных диапазонов, углов съемки), условий съемки (освещенности, состояния атмосферы) и методик обработки данных (алгоритмов классификации, комбинации спектральных каналов). Как правило, погрешность растет с уменьшением площади водоема и увеличением степени извилистости береговой линии. При определении характеристик морфометрических водных объектов в оптическом диапазоне, наиболее приемлема ближняя инфракрасная электромагнитного спектра. Также необходимо учитывать, что при высокой мутности мелководных участков водоема можно перепутать участки классификации водной поверхности с участками суши, что приводит к увеличению погрешности [11].

Для оценки точности составлена матрица представляющая собой таблицу ошибок, сравнения итоговой карты с эталонными значениями [5]. Для этого создавались размера, проверочные участки разного преимущественно на границе вода-суша. Проверочным участкам в процессе визуальной дешифровки снимка присваивался класс подстилающей поверхности. Затем значения классов проверочных участков сравнивались со значениями классификации. Для визуальной дешифровки был использован снимок Sentinel-2 с наилучшим контрастом вода-суша, результаты процедуры представлены в таблице 1.

Таблица 1 – Точность классификации снимков

Озеро	Landsat-8	Sentinel-2
Красиловское	89%	93%
Яровое	94%	98%

Необходимо отметить, что это оценочные значения, реальная погрешность измерения несколько выше и должны учитываться все факторы, перечисленные влияющие точность измерения. Для более расчета погрешности определения площади необходимы более данные С высоким разрешением пространственным или аэрофотоплан исследуемой местности.

# Результаты



Рисунок 1 – Озеро Красиловское, комбинация снимка Sentinel-2 и результата классификации в векторном формате GeoJSON

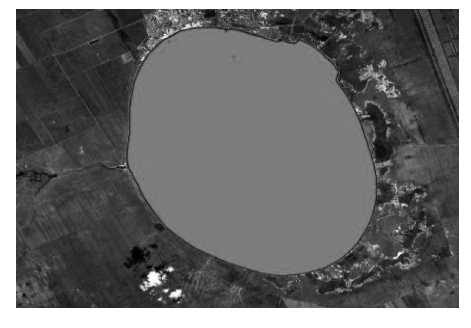


Рисунок. 2 – Озеро Большое Яровое, комбинация снимка Landsat-8 и результата классификации в векторном формате GeoJSON

Таблица 2 – Данные Landsat-8 и Sentinel-2 озеро Красиловское

Landsat-8		Sentinel-2	
Дата	Площадь, км²	Дата	Площадь, км²
17.09.2016	0,74	05.10.2016	0,71
16.08.2015	0,73	15.09.2016	0,72
29.06.2016	0,73	03.08.2016	0,73

Таблица 3 – Данные Landsat-8 озеро Большое Яровое

Landsat-8		Sentinel-2	
Дата	Площадь, км²	Дата	Площадь, км²
11.07.2016	73,18	05.08.2016	72,76

Таблица 4 – Данные Landsat-8 озеро Кучукское

Landsat-8		Sentinel-2	
Дата	Площадь, км²	Дата	Площадь, км²
05.08.2016	172,94	11.09.2016	171,68

Таблица 5 – Данные Landsat-8 озеро Телецкое

Landsat-8		Sentinel-2	
Дата	Площадь, км²	Дата	Площадь, км²
03.09.2016	229,42	14.09.2016	229,97

### Заключение

Данные спутникового мониторинга являются надежным и актуальным источником информации о состоянии водных объектов. Представленный программный комплекс для

определения площади акватории с достаточной точностью может использоваться для широкого круга прикладных и фундаментальных задач гидрологии.

#### СПИСОК ЛИТЕРАТУРЫ

- 1. Лямина В.А., Глушкова Н.В., Смоленцева Е.Н., Зольников И.Д. Использование методов ГИС и ДЗ для мониторинга площади озер и солончаков на территории юга Западной Сибири. // Интерэкспо Гео-Сибирь. 2010 №2, том 4,.с. 1-12.
- 2. European Space Agency [Electronic resource]. URL: https://scihub.copernicus.eu/dhus
- 3. United States Geological Survey [Electronic resource]. URL: https://ers.cr.usgs.gov.
- 4. GDAL Geospatial Data Abstraction Library [Electronic resource]. URL: http://www.gdal.org
- 5. Spectral Python [Electronic resource]. URL: http://www.spectralpython.net.
- 6. Kruse F.A., Lefkoff A.B., Boardman J.W., Heidebrecht K.B., Shapiro A.T., Barloon P.J., Goetz A.F.H. The Spectral Image Processing System (SIPS) interactive visualization and analysis of imaging spectrometer // Data Remote Sensing of Environment.1993. No 44. P. 145-163.
- 7. Congalton R., Green K. Assessing the Accuracy of Remotely Sensed Data: Principles and Practices. Boca Raton, FL: CRC Press, 2009. 200 p.
- 8. MongoDB [Electronic resource]. URL: http://www.mongodb.com.
- 9. Донцов А.А., Волков Н.В., Лагутин А.А. Региональная геоинформационная система оперативного космического мониторинга // Журнал Сибирского федерального университета. Серия: Техника и технологии. 2015. Т. 8. № 6. С. 763-768.
- 10. Донцов А.А., Волков Н.В., Лагутин А.А. Разработка технологии организации каталогов спутниковых данных // Известия Алтайского государственного университета. — 2014. № 1-2. С. 172-175.
- 11. С.Г. Корниенко. Оценка погрешности измерения площади водоёмов в криолитозоне по данным космической съемки различного пространственного разрешения // Методы исследования Криотосферы. Криосфера Земли 2014, т. XVIII, No 4, с. 86–93.

Донцов Александр Андреевич – аспирант ИВЭП CO PAH, e-mail: alexdontsov@yandex.ru; Суторихин Игорь Анатольевич – д.ф.-м.н.,

проф., г.н.с. ИВЭП СО РАН, д.ф.-м.н., проф. с.н.с. ИВТ СО РАН, тел.: (3852) 666-502, e-mail: sia@iwep.asu.ru.